

**ВЛИЯНИЕ ПОВЕРХНОСТНОЙ И ОБЪЕМНОЙ ИОНИЗАЦИИ
НА ПРИЭЛЕКТРОДНЫЕ ПАДЕНИЯ ПОТЕНЦИАЛА**

Г. В. Бавкин, А. В. Потапов

(Москва)

Рассмотрено изменение потенциала электрического поля в слое «свободного падения» у электродов в зависимости от характеристик поверхностной и объемной ионизации. Проведены систематические расчеты приэлектродных падений потенциала для вольфрамовых катода и анода в плазме лития и цезия. Получены зависимости потенциала электрического поля от давления плазмы, степени объемной ионизации, электронной температуры, температуры электродов и плотности тока.

Наиболее сильное изменение потенциала в газовом разряде происходит вблизи твердых поверхностей. Обычно считают, что приэлектродное изменение потенциала заключено в двух прилегающих к электроду областях плазмы. В первой, непосредственно примыкающей к металлической поверхности зоне, характеризующейся малой толщиной порядка дебаевского радиуса (меньше длины свободного пробега заряженных частиц), отсутствует квазинейтральность, т. е. имеется существенный объемный заряд. Во второй зоне, имеющей толщину, значительно большую длины свободного пробега заряженных частиц, поддерживается квазинейтральность. В области квазинейтральности расчет изменения потенциала электрического поля может быть выполнен посредством решения обычных уравнений динамики плазмы гидродинамического типа. Изменение потенциала в слое свободного падения непосредственно у электродов должно рассчитываться с учетом специфики бесстолкновительного движения частиц в электрическом поле.

Ниже исследуются приэлектродные падения потенциала в бесстолкновительном слое. Вопрос о потоках частиц решается приближенно. Исследование проводится для электродов, имеющих отрицательный потенциал относительно прилегающего объема плазмы. Случай положительного потенциала электродов требует более сложного рассмотрения с целью получения необходимых выражений для потока электронов. К тому же расчеты показали, что положительная величина потенциала электрода существует в сравнительно небольшой области изменения параметров разряда.

Принимается, что температура тяжелых частиц в слое объемного заряда равна температуре поверхности электрода. Определение потенциала в приэлектродном слое должно производиться на основе уравнений [1, 2]

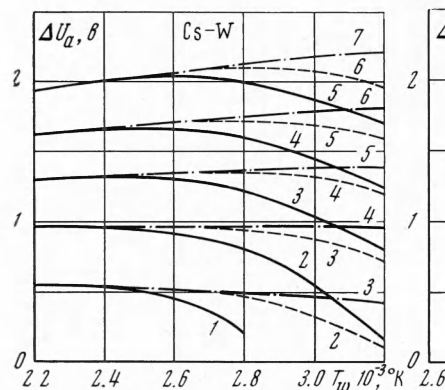
$$\begin{aligned} j &= j_e + j_i & (1) \\ j_e &= \frac{\xi_{es}^-}{4} e n_{es} v_{es} \exp \left[-\frac{e \Delta U_w}{k T_{es}} \right] - j_w, & j_i = -\frac{\xi_{is}^-}{4} e n_{is} v_{is} + \frac{\xi_{is}^+}{4} e n_{is} v_{is} \\ j_w &= A_0 T_w^2 \exp \left[-\frac{e \Phi_w - e V e E_w}{k T_w} \right], & p = k n_{es} \left(T_e + \frac{1}{\alpha_s} T_w \right) \end{aligned}$$

Здесь j — плотность электрического тока разряда (за положительное направление тока принимается направление от электрода); j_e, j_i — плотности составляющих электрического тока за счет движения электронов и ионов соответственно; j_w — плотность термоэлектронного тока; p — давление; n_{es}, n_{is} — концентрация частиц; v_{es}, v_{is} — тепловая скорость частиц; T_w — температура поверхности; ΔU_w — разность потенциалов между плазмой на границе слоя объемного заряда (s) и электродом (w); α_s — степень объемной ионизации; e — абсолютная величина заряда электрона; E_w — напряженность электрического поля у поверхности; k — постоянная Больцмана; $\xi_{es}^-, \xi_{is}^-, \xi_{is}^+$ — поправочные коэффициенты (индекс s внизу — значение величин на внешней границе слоя свободного падения; индекс минус соответствует движению частиц из плазмы к электроду, плюс — от электрода в плазму), приближенные выражения для которых можно получить из рассмотрения баланса частиц на внешней границе (s) слоя свободного падения

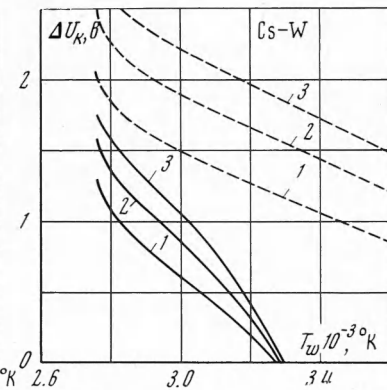
$$\begin{aligned} \xi_{es}^- &= \frac{2 - j_w / (1/4 e n_{es} v_{es})}{2 - \exp [-e \Delta U_w / k T_{es}]}, & \xi_{is}^- = 2 - \frac{\beta_s}{\alpha_s}, & \xi_{is}^+ = \frac{\beta_s}{\alpha_s} \\ \beta_s &= \frac{\exp [-e \Delta U_w / k T_w]}{(1/\beta_w) - 1 + \exp [-e \Delta U_w / k T_w]}, & \beta_w = \frac{\alpha^*}{1 + \alpha^*}, \end{aligned} \quad (2)$$

$$\alpha^* = A_i \exp \left[\frac{e (\varphi_i - V_i)}{k T_w} \right] \quad (3)$$

В этих выражениях β_s — эффективный коэффициент поверхностной ионизации, отнесенный к условиям на границе; β_m — коэффициент поверхностной ионизации атомов на электроде; α^* — степень поверхностной ионизации; V_i — потенциал ионизации атомов; A_i и Φ_i — параметры в формуле Саха — Лэнгмюра [1].



Фиг. 1



Фиг. 2

В крайних случаях поток тяжелых частиц, идущих к электроду через поверхность s , может состоять либо из одних атомов, либо из одних ионов, поэтому степень объемной ионизации α_s изменяется в пределах

$$\frac{1}{2}\beta_s \leq \alpha_s \leq \frac{1}{2}(1 + \beta_s) \quad (4)$$

При определении приэлектродного падения потенциала основными расчетными формулами, вытекающими из соотношений (1) — (3), являются

$$K = \frac{1}{L} \left[2 \left(kT_e + \frac{1}{\alpha_s} kT_w \right) \left(\frac{j + j_w}{e} \right) + p \left(1 - \frac{\beta_s}{\alpha_s} \right) \left(\frac{8}{\pi} \frac{kT_w}{m_i} \right)^{1/2} \right]$$

$$L = p \left(\frac{8}{\pi} \frac{kT_e}{m_e} \right)^{1/2} - 2 \left(kT_e + \frac{1}{\alpha_s} kT_w \right), \quad \Delta U_w = -kT_e \ln \frac{2K}{1+K} \quad (5)$$

Здесь T_e — электронная температура, m_e и m_i — массы электрона и иона. В случае плазмы щелочных элементов и раскаленных тугоплавких электродов, когда на величине ΔU_w может сказываться поверхностная ионизация, расчет ведется по формулам (3), (5), например, методом итераций.

На фиг. 1—4 представлены результаты расчетов ΔU_w , проведенных на основе характеристик термоэлектронной эмиссии и поверхностной ионизации, взятых из [3—9], для вольфрамовых электродов без учета эффекта Шоттки.

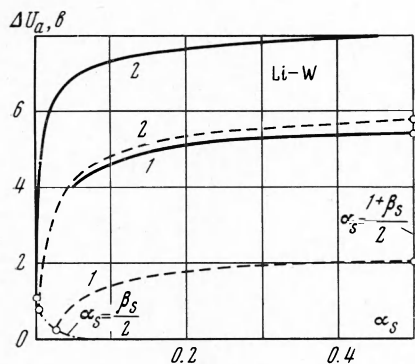
На фиг. 1 приведена зависимость прианодного падения потенциала ΔU_a от T_w [$^\circ$ К], давления цезиевой плазмы (кривые 1, 2, 3, 4, 5, 6, 7 соответствуют $p = 10^1, 10^2, 10^3, 10^4, 10^5, 10^6, 10^7$ мбар) и плотности разрядного тока j ($j = 3, 30, 300$ а/см²) обозначены сплошными, пунктирными и штрих-пунктирными линиями соответственно) для электронной температуры $T_e = 5000^\circ$ К и $\alpha_s = \frac{1}{2}\beta_s$. При заданной температуре T_w величина ΔU_a повышается с ростом p и падает при увеличении j . Можно заметить, что изменение знака ΔU_a происходит в области высоких T_w , низких T_e и больших j . Нетрудно показать, что с ростом α_s величина ΔU_a будет возрастать.

На фиг. 2 дана зависимость прикатодного падения потенциала ΔU_k от T_w , давления цезиевой плазмы p ($p = 10^2, 10^4$ мбар обозначены сплошными и пунктирными линиями соответственно) и T_e (кривые 1, 2, 3 соответствуют $T_e = 5000, 10000$ и 20000° К) при $j = 3$ а/см² и $\alpha_s = \frac{1}{2}\beta_s$. С ростом T_w величина ΔU_k на графике снижается, повышение T_e и p вызывает возрастание ΔU_k . Приэлектродная разность потенциалов ΔU_k изменяет знак в области высоких температур электрода и низких давлений плазмы.

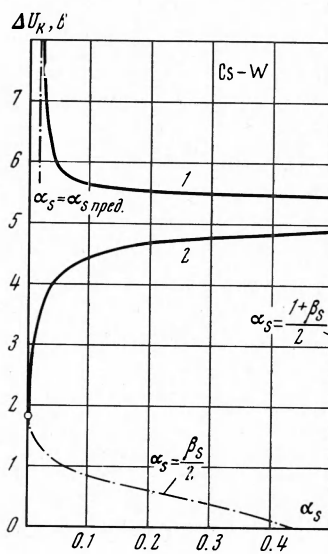
На фиг. 3 показано изменение ΔU_a в зависимости от α_s , давления литиевой плазмы p (кривые 1, 2 соответствуют $p = 10^2$ и 10^3 мбар) и j ($j = 3$ и 30 а/см²) обозначены сплошными и пунктирными линиями соответственно) при $T_w = 2600^\circ$ К. Величина α_s принимает ограниченные значения в соответствии с неравенством

(4). С ростом α_s величина ΔU_a также растет, в области низких значений α_s довольно сильно и при $\alpha_s \geq 0.1$ — незначительно. Увеличение p и уменьшение j приводит к повышению ΔU_a , как и в случае цезиевой плазмы.

На фиг. 4 изображена зависимость ΔU_k от α_s цезиевой плазмы и T_w при $p = 10^4$ мбар и $j = -3$ а/см². Температура $T_w = 2400^\circ$ К (кривая 1) соответствует $j_w < |j|$, $T_w = 3000^\circ$ К (кривая 2) — $j_w > |j|$. Характер изменения ΔU_k от α_s при $T_w = 3000^\circ$ ($j_w > |j|$) тот же, что и у ΔU_a (фиг. 3). В первом случае ($j_w < |j|$) с ростом α_s прикатодное падение ΔU_k снижается. Снизу α_s ограничено предельным значением $\lim \alpha_s \approx 1.91 \cdot 10^{-2}$, ниже которого ΔU_k , по аналитическим зависимостям неограниченно возрастает. При $\alpha_s < \lim \alpha_s$ количество ионов, приходящих на катод, становится недостаточным, чтобы дополнить ток термоэмиссии до заданного тока разряда.



Фиг. 3



Фиг. 4

Проведенное исследование показало связь приэлектродных падений потенциала с объемной и поверхностной ионизацией. Установленную зависимость приэлектродных падений потенциала ΔU_w от степени объемной ионизации α_s и коэффициента поверхностной ионизации β_w следует иметь в виду при разработке и расчетах плазменных устройств.

Поступила 20 I 1970

ЛИТЕРАТУРА

- Добрецов Л. Н., Гомоюнова М. В. Эмиссионная электроника. М., «Наука», 1966.
- Лебедев А. Д. К вопросу о приэлектродных явлениях в газовом разряде. Ж. техн. физ., 1968, т. 38, вып. 10, стр. 1719.
- Зандберг Э. Я., Ионов Н. И. Поверхностная ионизация. Усп. физ. н., 1959, т. 67, № 4, стр. 581.
- Зандберг Э. Я., Тонтегоде А. Я. Термоэмиссионные постоянные проволок из молибдена, tantalа и вольфрама. Ж. техн. физ., 1965, т. 35, № 8, стр. 1501.
- Gagriv H. L., Wilson R. G. Electrode materials for cesium contact ion engines. AIAA Journal, 1965, vol. 3, No. 10, p. 1867.
- Wilson R. G. Vacuum thermionic work functions of polycrystalline Nb, Mo, Ta, W, Re, Os and Ir. J. Appl. Phys., 1966, vol. 37, No. 8, p. 3170.
- Wilson R. G., Wolff E. D. Electron and ion emission from iridium in lithium vapor. J. Appl. Phys., 1966, vol. 37, No. 12, p. 4458.
- Алексеев Н. И., Каминский Д. Л. Ионизация некоторых редкоземельных элементов на поверхностях вольфрама, рения и иридия. Ж. техн. физ., 1964, т. 34, № 8, стр. 1521.
- Моуге Sh. E. Atomic Energy Levels. Washington, 1949.